

# ارزیابی پاسخ دینامیکی غیرخطی سیستم‌های سازه‌یی قاب محیطی با مهاربندی بزرگ تحت اثر جنبش‌های نیرومند زمین

فرشاد بواتی (کارشناس ارشد)

افشین مشکوه‌الدینی<sup>\*</sup> (استادیار)

دانشکده‌ی فنی و هندسی، دانشگاه خوارزمی

یکی از مباحث مهم مهندسی زلزله در دهه‌ی اخیر، موضوع تحلیل فرایند گسل‌شیوه پیشرو در چگونگی گسترش و انتشار جبهه‌ی گسیختگی گسل بوده است. همچنین موضوع بررسی و مطالعه‌ی ویژگی‌های فیزیکی و لرزه‌شناسی رکوردهای زلزله‌ی ثبت شده در حوزه‌ی نزدیک گسل نیز ارتباط ساختاری با پدیده‌ی گسل‌شیوه فرایند گسل است پیش‌روندگی گسل دارد. مطالعات نشان می‌دهد که پارامترهای پاسخ دینامیکی ساختمان‌های میان مرتبه تا بلند با سازه‌ی پایه‌ی قاب خمی، تحت اثر جنبش‌های پرقدرت و نیرومند زمین در حوزه‌ی نزدیک گسل، با شدت زیادی وارد حوزه‌ی رفتار غیرخطی می‌شوند. یکی از راهکارهای مناسب برای کاهش خسارت‌های ناشی از زلزله در ساختمان‌های میان مرتبه تا بلند، کاربرد سیستم سازه‌یی قاب محیطی با مهاربندی بزرگ است. کاربرد مهاربندهای بزرگ در سیستم‌های قاب محیطی، باعث ایجاد مؤلفه‌ی سختی مناسب در برابر بارهای جانبی ناشی از زلزله‌ای نیرومند خواهد شد. همچنین ضمن افزایش پتانسیل سیستم‌های ذکر شده برای استفاده در ساختمان‌های میان مرتبه تا بلند، یک توزیع یکنواخت از تنش‌های محوری را در سطون‌های محیطی پلان ایجاد می‌کند. ارزیابی پارامترهای پاسخ دینامیکی این گونه سازه‌ها نشان‌دهنده‌ی عملکرد لرزه‌یی بسیار خوب به ویژه تحت اثر رکوردهای نیرومند ثبت شده در حوزه‌ی نزدیک گسل‌هاست.

farshad7941@gmail.com  
meshkat@khu.ac.ir

وازگان کلیدی: گسل‌شیوه پیشرو، رکورد حوزه‌ی نزدیک، رفتار غیرخطی، عملکرد لرزه‌یی، قاب محیطی مهاربندی شده.

## ۱. مقدمه

لرزش‌های زمین به طور قابل توجهی تحت تأثیر مکانیزم گسل‌شیوه<sup>۱</sup>، انتشار گسیختگی<sup>۲</sup> و همچنین تغییرشکل‌های پردازه‌ی دینامیکی قرار گرفته است و در شرایط خاص نیز متأثر از حرکات پرتاپی<sup>۳</sup> در ساختار شکست گسل‌ها بهویژه امتداد لغز<sup>۴</sup> و شیب لغز<sup>۵</sup> خواهد بود.<sup>[۱]</sup> تأثیرات ترکیبی فریندهای پاره شده سبب می‌شود که بیشتر انرژی جنبشی ارتعاشات زمین در بازه‌ی زمانی یک ساختار پالس سرعت<sup>۶</sup> پردازه و با دوره‌ی تناوب بلند پدیدارشده در تاریخچه‌ی زمانی رکورد زلزله آزاد شود. شایان ذکر است که ساختارهای پالس سرعت متناظر با دو مؤلفه‌ی موادی صفحه‌ی شکست گسل (LN) و نیز مؤلفه‌ی عمود بر آن (TR) یکسان و هم‌زمان نیستند. همچنین مطالعات نشان می‌دهند که به طور کلی ارتعاشات نیرومند زمین در حوزه‌ی نزدیک گسل با پالس‌های دارای دوره‌ی تناوب بیش از ۱ ثانیه و همچنین زلزله‌های پرقدرت با مدت دوام بیشتر از ۱۰ ثانیه، قابلیت ایجاد سیکل‌های ارتعاشی شدید در رفتار لرزه‌یی سازه، همراه با پدیدارشدن مکانیزم خمیری و نیز بروز ویژگی‌های غیرخطی را دارند. بدین ترتیب می‌توان استنباط کرد که روند احتمالی پیدایش و نیز افزایش

خشارت شدید وارد شده به مناطق پر جمعیت شهری در هنگام زلزله‌های بزرگ و نیرومند همانند امپریال ولی<sup>۷</sup> (۱۹۷۹)، لوما پریتا<sup>۸</sup> (۱۹۸۹)، و نورثربیچ<sup>۹</sup> (۱۹۹۴) که در کالیفرنیا رخ داده‌اند و نیز زلزله‌ی کوبیه<sup>۱۰</sup> (۱۹۹۵)، چی‌چی<sup>۱۱</sup> (۱۹۹۹) و بیم (ایران)، روند پژوهش‌های این بخش از مهندسی عمران را به سوی جنبه‌های گوناگون ارزیابی دقیق نیاز لرزه‌یی سازه‌ها بهویژه در حوزه‌های نزدیک گسل‌های فعال سوق داده است. جنبش‌های نیرومند زمین ثبت شده در ایستگاه‌های لرزه‌نگاری نزدیک به گسل‌های فعال به دلیل داشتن ویژگی‌های خاص فیزیکی، قابلیت‌های شکری در ایجاد خرابی و صدمات گستردگی سازه‌یی دارند. ارزیابی مقوله‌های ذکر شده، ضرورت پرداختن به موضوع لرزه‌شناسی حوزه‌ی نزدیک را هر چه بیشتر نمایان می‌سازد.<sup>[۱]</sup>

شایان ذکر است که در نزدیکی صفحه‌ی شکست یک گسل فعال، جنبش‌ها و

\* نویسنده مسئول

تاریخ: دریافت ۵/۲/۱۳۹۴، اصلاحیه ۴/۲۴، پذیرش ۶/۱۳۹۴.

حوزه‌ی نزدیک باعث افزایش چشم‌گیر پارامتر نیاز شکل‌بندیری می‌شوند.<sup>[۵]</sup> در طراحی سازه‌های برا ساس آین نامه‌های رایج و بررسی رفتار آنها تحت زلزله‌های حوزه‌ی نزدیک (۱۹۹۵) ملاحظه شده است که پارامترهای نیاز شکل‌بندیری تحمیل شده به سازه‌های با دوره‌ی تناوب بلند و انعطاف‌پذیر، به طور قابل ملاحظه‌ی از حدود ظرفیت آنها تجاوز می‌کند. همچنین در سال ۱۹۹۷ در بررسی جامع پارامترهای رفتار لرزه‌ی دو ساختمان ۶ و ۲۰ طبقه، جنبه‌های تحلیلی پژوهش مذکور در برگیرنده‌ی مشخصات رفتار غیرخطی سازه‌ی حاوی انواع مکانیزم‌های اتصال و نیز تأثیر جنبش‌های پر قدرت زمین در حوزه‌ی نزدیک گسل بوده و در روند تحلیل‌های غیرخطی، با درنظرگرفتن  $\Delta - P$  برای المان‌های ستون قاب‌های داخلی ملاحظه شده است که میزان و روند تغییرات پارامترهای پاسخ لرزه‌ی ارتباط نزدیکی با پیشنهادی غیرمکان زمین داشته است. نتایج پژوهش مذکور در ستونهای ارتفاع سازه، سختی جانبه‌ی، و مکانیزم اتصالات المان‌ها در پاسخ لرزه‌ی سازه مؤثر هستند.<sup>[۶]</sup>

در پی بررسی‌ها و مطالعات دیگری این نتیجه به دست آمده است که وقتی سازه به طور نسبی سختی جانبه‌ی زیادی دارد، تقاضای شکل‌بندیری در سطح پایین تری قرار می‌گیرد و تقاضای بزرگ‌تر در طبقات بالاتر سازه اتفاق می‌افتد. همچنین وقتی که مقاومت سازه کاهش می‌یابد، تقاضای شکل‌بندیری در بخش‌های بالاتر در محدوده‌ی مقادیر ۳ تا ۵ پاچی می‌ماند و همچنین تقاضای شکل‌بندیری پیشنهادی نیز به طبقات پایین منتقل می‌شود.<sup>[۸]</sup> بر پایه‌ی نتایج مطالعات دیگری (۲۰۰۶) بیان شده است که توصیف پتانسیل خرابی رکوردهای حوزه‌ی نزدیک به صورت تابعی از شتاب نگاشت، چندان مناسب نیست. همچنین لازم است که گروه‌بندی جدیدی برای توصیف رکوردهای زلزله برا ساس تابعی از نوع مکانیزم گسل، مشخصات فیزیکی و توجه به پارامتر تقاضای لرزه‌ی متناظر، در نگرش تحلیلی و رویکرد طراحی آین نامه‌های طرح لرزه‌ی لحاظ شود.<sup>[۹]</sup> همچنین نتایج پژوهشی (۲۰۰۶) نشان داده است که تحت اثر رکوردهای پر قدرت حوزه‌ی نزدیک، سازه‌ها باید بخش بزرگی از انرژی جنبشی اعمالی را در ۱ یا ۲ سیکل ارتعاشی با دامنه‌ی بزرگ، مستهلك کنند. افزون بر آن، نسبت دوره‌ی تناوب پالس به دوره‌ی تناوب سازه در تعیین پارامترهای نیاز اهمیت اساسی دارد.<sup>[۱۰]</sup>

بر پایه‌ی چند مطالعه‌ی موردی دیگر (۲۰۰۷)، برای اسکلت‌های قاب خمشی ۱۹ طبقه ملاحظه شده است که رکوردهای نیرومند ثبت شده در زلزله‌های به بزرگی ۶/۳ تا ۷/۳ در مقیاس ریشت، تقاضای دریفت در حدود ۵٪ و همچنین تقاضای دوران خمیری حدود ۴ تا ۵ درصد را دیان را در اتصالات تیر به ستون ایجاد می‌کنند. حصول این نتیجه در حالی بوده است که آزمایش‌های صورت‌گرفته بر روی اتصالات مرسوم قبل از زلزله نورثربیج (۱۹۹۴)، دوران خمیری کمتر از ۳٪ را دیان را نشان می‌داده‌اند.<sup>[۱۱]</sup> همچنین در مجموعه‌ی مطالعات دیگر چنین نتیجه شده است که سازه‌های با ارتفاع متوسط تا بلند تحت اثر رکوردهای پر انرژی حوزه‌ی نزدیک باید قادر باشند که ضمن تحمل دامنه‌های بزرگ برای پارامتر دریفت در رفتار لرزه‌ی سه بعدی، مقادیر بزرگ انرژی جنبشی حاصل از حرکات پر قدرت زمین را در تعداد محدودی سیکل ارتعاشی میرا کنند.<sup>[۱۲]</sup>

### ۳. قاب‌های محیطی با مهاربندی بزرگ<sup>۱۳</sup>

مقاومت جانبه‌ی سازه‌های با ساختار قاب محیطی خمشی به وسیله‌ی قاب‌های بسیار سخت، که در محیط ساختمان قرارگرفته‌اند و تشکیل جدار بسته‌ی را می‌دهند، تأمین می‌شود. قاب‌های محیطی خمشی شامل ستونهایی به فواصل ۲ تا ۴ متر هستند،

ویزگی‌های رفتار غیرخطی در سیکل‌های پاسخ لرزه‌ی ساختمان‌های میان مرتبه تا بلند نسبت به رکوردهای نیرومند نزدیک، متفاوت از پارامترهای پاسخ سازه نسبت به رکوردهای حوزه‌ی دور باشد.<sup>[۱۴]</sup>

سازه‌های قاب محیطی خمشی یکی از کارآمدترین فرم‌های سازه‌ی ساختمان‌های بلند هستند. همچنین تأثیرات پدیده‌ی لنگی برش نیز در رفتار سازه‌های مذکور به طور مشخص ملاحظه می‌شود، که اثرات آن نیز در توزیع غیریکنواخت نیروهای محوری در ستون‌های محیطی سازه به ویژه ستون‌هایی که در راستای عمود بر جهت بازگذاری جانبی قرار دارند، آشکار است. بدینهای است که این رفتار سبب خواهد شد تا از تامیق قابلیت مقاومتی سازه در مقابله با بارهای جانبی استفاده شایان ذکر است که با کاربرد مهاربندهای بزرگ در ساختارهای قاب محیطی می‌توان علاوه بر افزایش فاصله بین ستون‌ها و بالابدن پتانسیل آن برای استفاده در ساختمان‌های بلندتر، اثر این مشکل را نیز به مقدار زیادی کاهش داد. ساختار پیوسته‌ی مهاربندهای بزرگ علاوه بر افزایش کارایی قاب‌های محیطی در تحمل بارهای ثقلی، در برابر بارهای جانبی همانند یک تیر بزرگ طره عمل می‌کنند. بدین ترتیب ضمن کاهش اندماجه تغییرشکل جانبی سازه، مقدار تنش محوری در ستون‌های پیرامونی پلان ساختمان بلند نیز به مقدار قابل توجهی کاهش می‌یابد.

در پژوهش حاضر، ویزگی‌های رفتار لرزه‌ی سازه‌های بلند مرتبه با ساختار قاب محیطی با مهاربندهای بزرگ و نیز پارامترهای پاسخ آنها نسبت به رکوردهای حوزه‌ی دور و نزدیک تحلیل شده و ارزیابی توصیفی بر روی نتایج صورت گرفته است. توصیف شرایط بارگذاری، محاسبات بارهای جانبی ناشی از زلزله و پارامترهای مربوط نیز برا ساس آین نامه‌های ایران صورت پذیرفته است. مجموعه‌ی رکوردهای انتخابی نیز دارای انواع اثرات پدیده‌ی گسلش و جهت‌داری هستند و برا ساس زلزله‌های معروف ایران و نیز زلزله نورثربیج (۱۹۹۴) ایالات کالیفرنیا امریکا انتخاب شده‌اند. شایان ذکر است که معيار اصلی در انتخاب رکوردهای مذکور برای انجام آنالیزهای غیرخطی تاریخچه‌ی زمانی، وجود پالس یا پالس‌های پر انرژی و بلندمدت در تاریخچه‌ی زمانی سرعت زمین بوده است. شناخت خصوصیات پالس‌های دوره‌ی تناوب بلند برای طراحی سازه‌ها در حوزه‌ی نزدیک گسل، اهمیت زیادی دارد. این نکته قابل ذکر است که برای مقایسه‌ی بهتر رفتار لرزه‌ی ۳ سازه‌ی مطالعاتی، محور قائم تمام نمودارهای پاسخ نسبت به ارتفاع نرمال شده است.<sup>[۱۵]</sup>

## ۲. پیشینه‌ی پژوهش

شایان ذکر است که پس از وقوع زلزله‌های بزرگ سان فرانسیسکو (۱۹۷۱)، امپریال ولی (۱۹۷۹)، لوما پرپیتا (۱۹۸۹) و نورثربیج (۱۹۹۴) توجه پژوهشگران به جنبش‌های نیرومند ثبت شده در محدوده‌ی نزدیک به منع لرزه‌ی و مشخصه‌های متفاوت آنها جلب شده است. در یک مطالعه‌ی رفتار سازه‌ها تحت حرکت‌های پالس زمین (۱۹۸۷)، رفتار لرزه‌ی یک سازه‌ی فولادی ۱۰ طبقه و ۳ دهانه، تحت زلزله امپریال ولی (۱۹۷۹) بررسی و ملاحظه شده است که افزایش نسبت دوره‌ی تناوب حرکت زمین به دوره‌ی تناوب طبیعی سازه، همراه با افزایش دامنه‌ی اسپایک‌های پر انرژی شتاب رکوردهای زمین، موجب فزوئی گرفتن دامنه‌ی پاسخ غیرخطی سازه می‌شود. برا ساس مطالعه‌ی اخیر، تمرکز تغییرشکل در طبقات پایین ساختمان، که ستون‌های آن بار محوری زیادی را تحمل می‌کنند، سبب شدت بافت اثرات پارامترهای در طبقات پایین می‌شود. بنابراین خسارت‌های ناشی از حرکت‌های ضربه‌ی زمین در طبقات پایین تمرکز و شدت بیشتری خواهد داشت. همچنین رکوردهای نیرومند

که توسط شاه تیرهایی عمیق به یکدیگر متصل می شوند. هنگامی که سازه تحت اثر بار جانبی قرار می گیرد، قاب های صلب محیطی در جهت بارگذاری، به صورت جانها و قاب های خمی معمود بر جهت ساختارهای صلب محیطی خشی، سیار خوب است. با وجود این، طریقی حجیم محیطی، عمل خواهد کرد. مطالعات نشان می دهند که بازدهی و کارایی سازه های ساختارهای قاب محیطی خمی دینامیکی المان های موضوع کاوش اثربخشی اینگی برش <sup>۱۴</sup> به ویژه در رفتار استاتیکی و دینامیکی المان های ستون مربوط به یک سازه های قاب محیطی خمی، یک مبحث جامع مطالعاتی است. وجود پدیده لنجی برش سبب می شود که ستون های وسط قاب های خمی هر دو بال نسبت به ستون های گوشی هایی، تحت اثر تنش کمتری فرازگیرند. بدین لحاظ از تمام قابلیت مقاومتی آنها در رفتار لرزه هایی کل ساختمان بلند استفاده نمی شود.<sup>[۱۵]</sup>

یکی از راه های افزایش بازدهی سازه های قاب های محیطی خمی براساس بیشتر کردن فاصله ای بین ستون ها و بالا بدن قابلیت هندسی این سیستم ها برای استفاده در اسکلت ساختمان های بلندتر از <sup>۴۰</sup> طبقه، تدوین شده است. فرایند اضافه کردن مهاربند های قطری در پانل های قابی پیرامون سازه، در شکل برای یک آرایش هندسی المان های بزرگ مورب انجام می گیرد. کاربرد این نوع مهاربند های بزرگ در واقع تضمین می کند که ستون های محیطی به صورت یک پارچه در تحمل بار قللی و جانبی عمل کنند. همچنین تشکیل یک ساختار لوله بی خربایی، احتمال افزایش نامتناسب بار محوری در ستون های گوشی هایی را کاهش می دهد. ساختار سازه هایی قاب محیطی با مهاربندی بزرگ را می توان برای ساختمان های تا <sup>۱۰۰</sup> طبقه به کار برد.<sup>[۱۶]</sup>

مطالعه مخصوصات رفتاری و چگونگی پاسخ لرزه های مهاربند های بزرگ تحت اثر رکوردهای نیرومند حوزه های نزدیک، یکی از موضوعات مهم پژوهشی در راستای بهبود پارامترهای طراحی انواع سیستم های مهاربندی در ساختمان های بلند مرتبه محسوب می شود.

#### ۴. فرضیات مدل سازی

مدل های مطالعاتی سه گانه ای این پژوهش از نوع سازه های قاب محیطی مهاربندی شده های <sup>۲۰</sup> و <sup>۳۰</sup> طبقه با ارتفاع طبقه های <sup>۳/۵</sup> متر هستند. پلان و ساختار هندسی قاب محیطی سازه های در شکل ۱ نشان داده شده اند. سازه های مطالعاتی در هر دو جهت X و Y، <sup>۶</sup> دهانه با طول <sup>۶</sup> متر دارند. هندسه های سازه های مذکور در هر <sup>۴</sup> صفه های قابی مهاربندی شده محیطی، <sup>۴</sup> دهانه ای آزاد دارد. بارگذاری محاسباتی مرده و زنده طراحی برای کل طبقات به ترتیب  $t/m^2$  <sup>۰</sup> و  $t/m^2$  <sup>۰</sup> و  $t/m^2$  <sup>۰</sup> و  $t/m^2$  <sup>۰</sup> بازیگر می شود.<sup>[۱۷]</sup>

سازه های مطالعاتی در تهران قلر داشته و خاک ساختگاه از نوع II است. مشخصات مقاطع اعضاء سازه ها برای هر دو مدل <sup>۲۰</sup> طبقه، یکسان و براساس استاندارد ملی ساختمان ایران (مباحث ششم و دهم) و آین نامه های <sup>۲۸۰۰</sup> (ویرایش سوم) با استفاده از نرم افزار SAP<sup>۲۰۰۰</sup> طراحی شده اند.<sup>[۱۸]</sup> براساس این استانداردها در کنترل طرح لرزه هایی، دو معیار محدودیت جایه جایی نسبی طبقات و رعایت اصل ستون قوی - تیر ضعیف در روند طراحی در نظر گرفته شده است. روند طراحی نیز بر پایه ای معیار شکل پذیری متوسط است. میرایی سازه به صورت کلاسیک متناسب با سختی و جرم لحاظ شده و مقدار ضرریب میرایی برابر  $5\%$  است. مقاطع و نوع پروفیل عضوهای سازه های مطالعاتی در جدول ۱ و شکل ۲ نشان داده شده است.<sup>[۱۹]</sup>

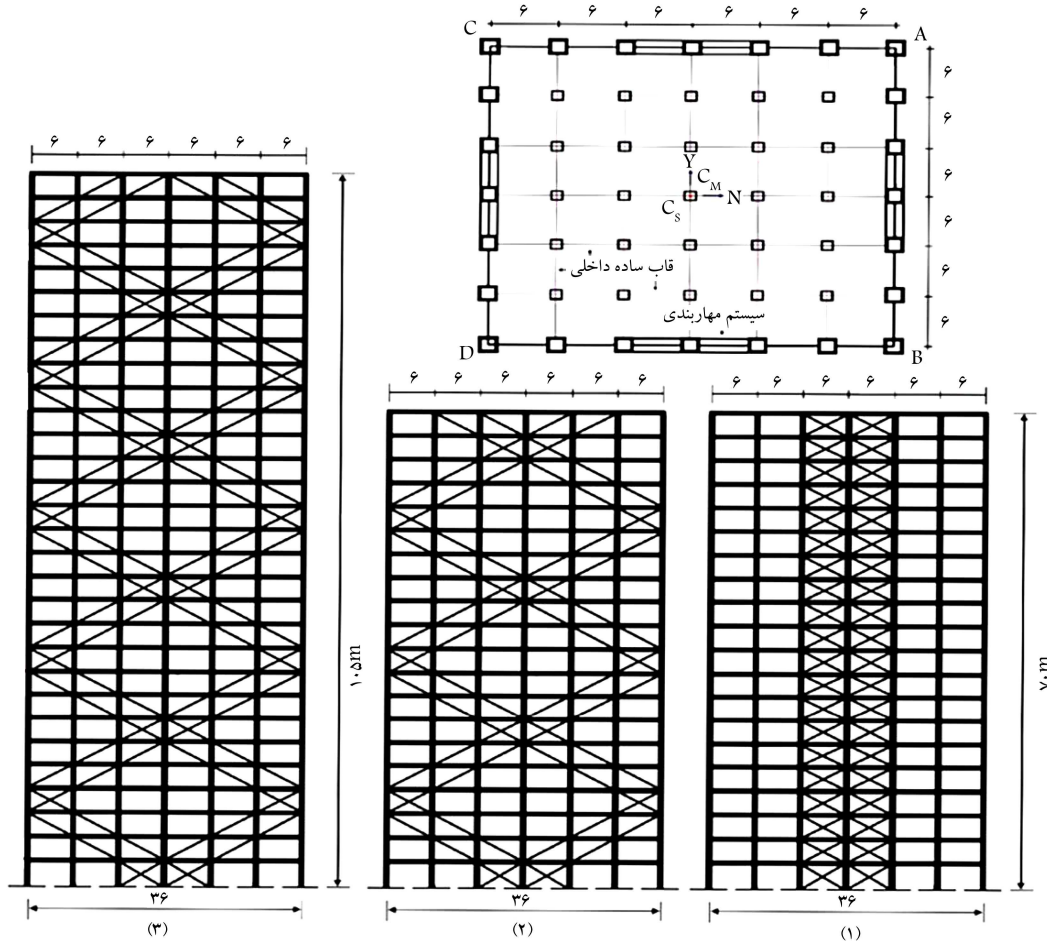
#### ۵. ویژگی های حرکات زمین در حوزه های نزدیک

ساختمان پیوسته ای ارتعاشات موج گونه ای زمین در حوزه های نزدیک گسل، تحت تأثیر ۳ پارامتر اصلی فاصله و میزان نزدیکی ناحیه های موردنظر تا گسل لرزه زا، راستای لغزش در مکانیزم داخلی گسل و نیز راستای خط اصلی گسل نسبت به ساختمان است. ساختار و چگونگی کنش و واکنش در مکانیزم داخلی گسل سبب انتشار امواج زلزله خواهد شد. پالس های ثبت شده ناشی از این فعالیت داخلی گسل، معمولاً در بازه های زمانی ابتدای رکورد زلزله آشکار می شوند. این فرایند به گونه هایی است که راستای بخشی از نیرومندترین و پرانرژی ترین پرتوهای امواج برشی زلزله در جهت لغزش گسل بوده و نیز به طور نسبی منطبق با راستای انتشار شکست در مکانیزم داخلی گسل است. بر همین اساس شرایط ایجاد پالس های بسیار نیرومند و پر دامنه تغییر مکان مهیا خواهد شد.<sup>[۲۰]</sup>

نتایج مطالعات لرزه شناسی نشان می دهند که رکوردهای نیرومند حوزه های نزدیک، حاوی انواع ساختارهای پالس گونه در رکورد شتاب و نیز تاریخچه زمانی سرعت و تغییر مکان زمین هستند. پدیدارشدن این ساختارهای موج گونه که دوره تناوب بلند نیز دارند، تداعی کننده تحریکات دینامیکی به صورت ضربه است. دامنه این پالس ها و مدت دوام حرکات نیرومند زمین نیز مستگی به جهت اصلی انتشار امواج زلزله دارد. همچنین ملاحظه شده است که اگر ساختار شکست گسل به سمت ساختگاه انتشار یابد، چون سرعت گسترش گسیختگی در حدود سرعت انتشار امواج برشی است، بدین لحاظ امواج نیرومند لرزه هایی در یک بازه زمانی کوتاه به ساختگاه خواهد رسید. این فرایند باعث ایجاد یک ساختار پالس ترکیبی پر دامنه و با دوره تناوب بلند شده و توضیح دهنده گسترش مکانیزم شکست گسل با اثرات جهت داری پیش رونده (گسلش پیش رو) است. چنانچه راستای گسترش گسیختگی در مکانیزم گسل در جهت دورشدن از ساختگاه باشد، آنگاه امواج نه چندان نیرومند لرزه هایی در یک وضعیت پراکنده به محل مذکور خواهند رسید. نمود فیزیکی این روند به صورت پدیدارشدن اسپایک های دامنه کوتاه در تاریخچه زمانی شتاب رکورد زلزله همراه با ظهور ساختارهای پیوسته شبه سینوسی کوچک دامنه و کم انرژی در نمودار سرعت زمین خواهد بود. بدین لحاظ ضمن ایجاد شبه پالس های کم دامنه در تاریخچه زمانی رکورد، بازه زمانی ارتعاشات به نسبت نیرومند زمین نیز در مقایسه با حالت جهت داری پیش رونده بیشتر خواهد شد. این ساختار فیزیکی در واقع توصیف کننده انتشار شکست گسل با اثرات جهت داری پیش رونده (گسلش پیش رو) است. سومین حالت ملاحظه شده نیز با فام و ضعیت جهت داری خنثی شناخته شده و نمود فیزیکی آن در رکورد شتاب و تاریخچه زمانی سرعت زمین به صورت بروز یک مجموعه اسپایک های با دامنه کوتاه و کم انرژی است. نتایج مطالعات پیشین نشان می دهند که تعداد کمی از رکوردهای حوزه های نزدیک، اثرات جهت داری خنثی (گسلش ساکن) دارند. مشاهده شده است که رکوردهای حاوی اثرات جهت داری خنثی به مراتب ضعیف تر از رکوردهای دارندگی مشخصات جهت داری پیش رونده هستند و نیز انرژی جنبشی آنها بسیار کمتر از رکوردهای با اثرات جهت داری پیش رونده است.<sup>[۲۱]</sup>

#### ۶. ماهیت رکوردهای مورد استفاده

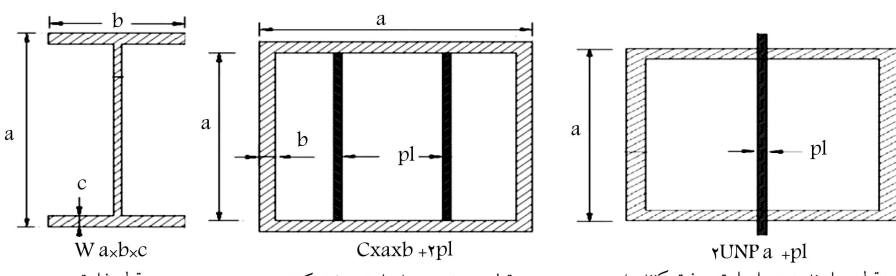
وقوع زمین لرزه های بزرگ در نزدیکی مناطقی که در مجاورت گسل های فعل واقع شده اند، امری اجتماع تا پذیر است. بدین لحاظ ارزیابی و شناخت ویژگی های حرکات نیرومند زمین در حوزه های نزدیک گسل و تأثیر آن در عملکرد سازه ها امری ضروری



شکل ۱. پلان و نمای سازه‌های مطالعاتی  $C_M$  و  $C_s$  به ترتیب مرکز جرم و برش طبقه هستند (ابعاد به متر).

جدول ۱. مقاطع استفاده شده در سازه‌های مطالعاتی (ابعاد به cm).

مهاربندها	تیغهای	ستون‌های داخلی پلان	ستون‌های محیطی پلان	طبقه
۲UNP۳۸+PL(۴۱×۱)	W۴۰×۲۰×۱,۵	C۷۰×۲,۵	C۸۰×۳,۵+۲PL(۷۳×۳)	۵-۱
۲UNP۳۲	W۴۰×۲۰×۱,۵	C۶۵×۲	C۷۰×۳+۲PL(۶۴×۲,۵)	۱۰-۶
۲UNP۳۰	W۴۰×۲۰×۱,۵	C۶۰×۲	C۶۵×۲,۵	۱۵-۱۱
۲UN۴۶	W۴۰×۲۰×۱,۵	C۵۰×۱,۵	C۵۵×۱,۵	۲۰-۱۶
۲UN۴۸	W۴۰×۲۰×۱,۵	C۵۰×۲,۵	C۵۰×۲,۵	۵-۱
۲UNP۳۵	W۴۰×۲۰×۱,۵	C۴۵×۲	C۴۵×۲	۱۰-۶
۲UNP۳۲	W۴۰×۲۰×۱,۵	C۳۵×۱,۵	C۳۵×۱,۵	۱۵-۱۱
۲UNP۲۴	W۴۰×۲۰×۱,۵	C۳۰×۱,۵	C۳۰×۱,۵	۲۰-۱۶
۲UNP۴۰	W۴۰×۲۰×۱,۵	C۶۵×۳	C۶۵×۳	۵-۱
۲UNP۴۰	W۴۰×۲۰×۱,۵	C۵۵×۲,۵	C۵۵×۲,۵	۱۰-۶
۲UNP۳۸	W۴۰×۲۰×۱,۵	C۵۰×۲,۵	C۵۰×۲,۵	۱۵-۱۱
۲UNP۳۵	W۴۰×۲۰×۱,۵	C۴۵×۲	C۴۵×۲	۲۰-۱۶
۲UNP۳۲	W۴۰×۲۰×۱,۵	C۴۰×۲	C۴۰×۲	۲۵-۲۱
۲UNP۲۸	W۴۰×۲۰×۱,۵	C۳۵×۱,۵	C۳۵×۱,۵	۳۰-۲۶

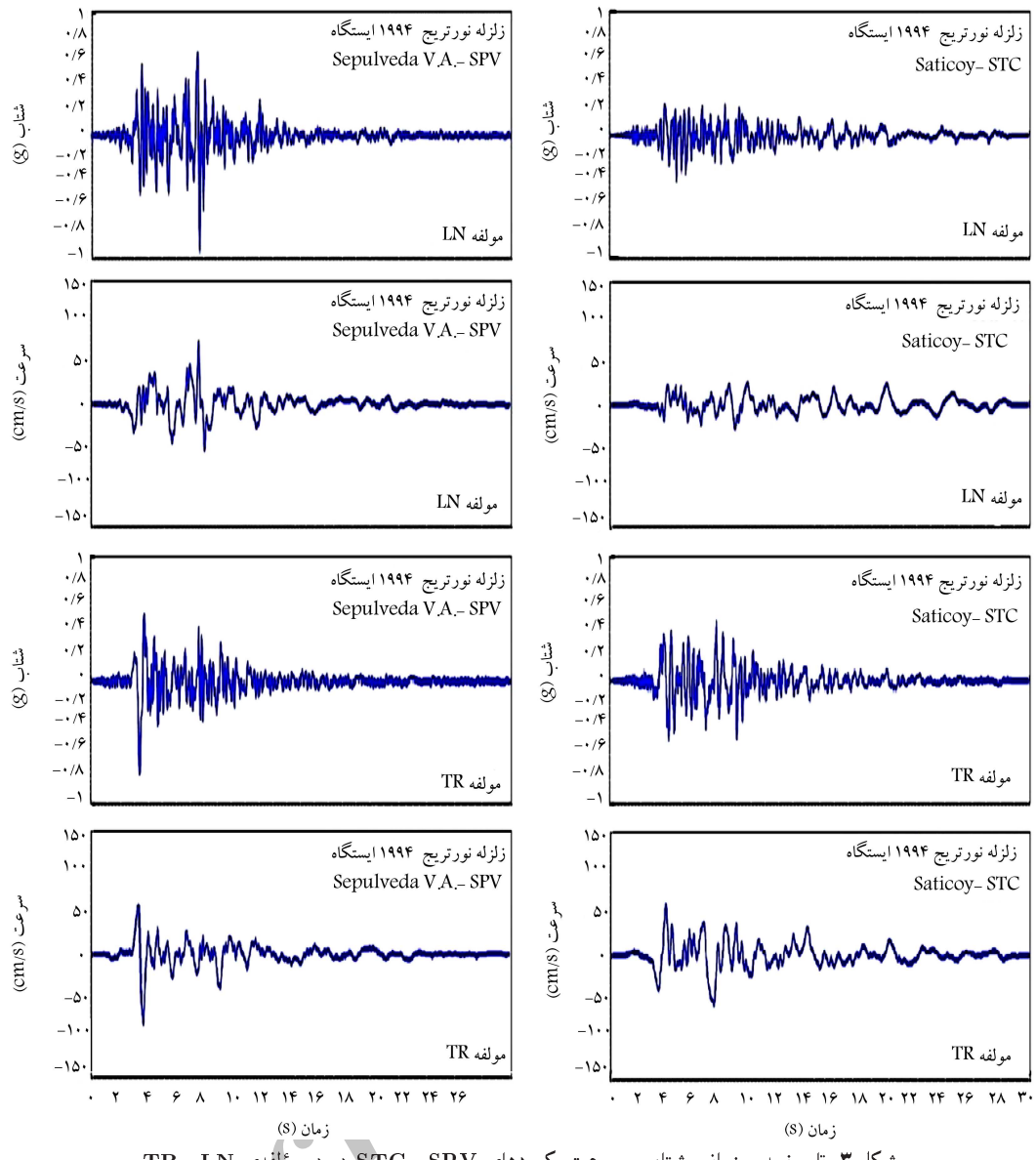


شکل ۲. نوع پروفیل اعضاء سازه‌های مطالعاتی.

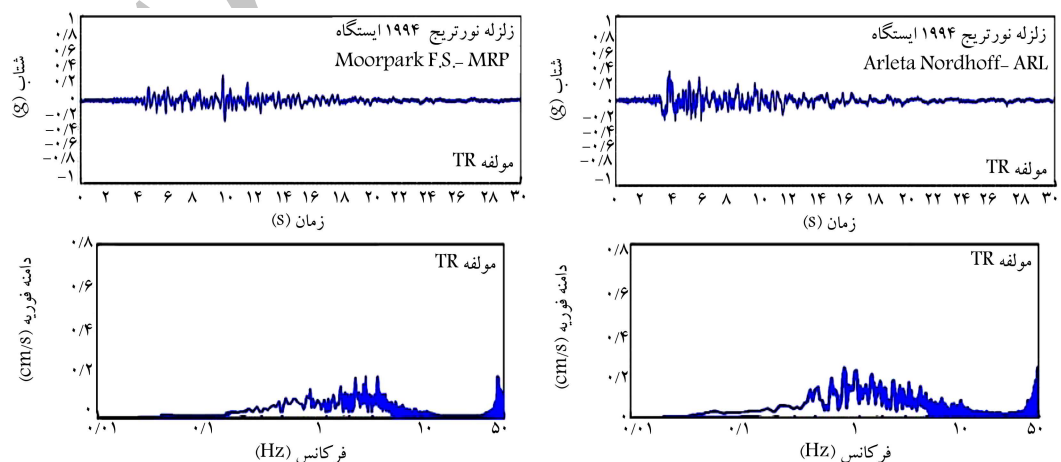
جدول ۲. مشخصات رکوردهای انتخابی.

بیشینه‌ی جابه‌جایی زمین				بیشینه‌ی سرعت زمین				بیشینه‌ی شتاب زمین				ایستگاه	زلزله						
(cm/s <sup>2</sup> )		(cm/s)		(g)		M <sub>W</sub>													
مؤلفه‌ی قائم	مؤلفه‌ی عمود	مؤلفه‌ی موازی	مؤلفه‌ی قائم	مؤلفه‌ی عمود	مؤلفه‌ی موازی														
گسل	گسل	گسل	گسل	گسل	گسل														
۱۰,۱۱	۳۷,۴	۲۰,۷	۳۷,۶۶	۱۲۳,۷	۵۹,۶	۰,۹۹۹	۰,۷۹۳	۰,۶۳۵	۶,۶	Bam	۳۰	(۲۰۰۳)							
۱۷	۹۴,۵	۳۹,۹	۴۵,۵	۱۲۱,۳	۹۷,۷	۰,۶۸۸	۰,۸۰۱	۰,۸۳۶	۷,۴	Tabas	طبس	(۱۹۷۸)							
۲۵,۴۴	۵۳,۴۴	۴۶,۹۹	۳۴,۶	۱۱۷,۴	۱۰۲,۸	۰,۵۸۶	۰,۶۱۲	۰,۸۹۷	۶,۷	Sylmar(SCS)									
۸,۸۹	۴۳,۰۶	۲۴	۳۴,۱	۱۰۶,۲	۹۹,۳	۰,۴	۰,۴۲۴	۰,۵۹۳	۶,۷	Jensen Filter Plant (JFP)									
۱۹,۷۶	۲۸,۸۷	۱۹,۷۶	۵۰,۷	۱۶۶,۱	۷۳	۰,۸۵۲	۰,۸۲۸	۰,۴۷۲	۶,۷	Rinaldi (RRS)									
۱۳,۲۹	۵۶,۶۴	۱۶,۱۱	۳۷,۲	۹۲,۸	۶۷,۴	۰,۵۵	۰,۴۵۵	۰,۳۲۵	۶,۷	Newhall W.Pico (WP)	نورث‌ریچ	(۱۹۹۴)							
۹,۵۸	۱۸,۶۸	۱۴,۹۵	۳۳,۲	۸۴,۸	۷۶,۶	۰,۴۶۷	۰,۷۵۳	۰,۹۳۹	۶,۷	Sepulveda (SPV)									
۳,۳۲	۲۲,۰۶	۸,۴۴	۵,۵۷	۶۱,۵	۲۸,۹	۰,۱۵۳	۰,۴۷۷	۰,۳۶۸	۶,۷	Saticoy (STC)									
۸,۸۳	۱۵,۰۴	۱۰,۷۵	۱۸,۰۴	۴۰,۰۶	۲۳,۲	۰,۵۵۲	۰,۳۴۴	۰,۳۰۸	۶,۷	Arleta (ARL)									
۰,۹	۴,۷۹	۴,۲۴	۷,۹	۲۰,۲	۲۰,۷	۰,۱۵۹	۰,۱۹۳	۰,۲۹۲	۶,۷	Moorpark (MRP)									

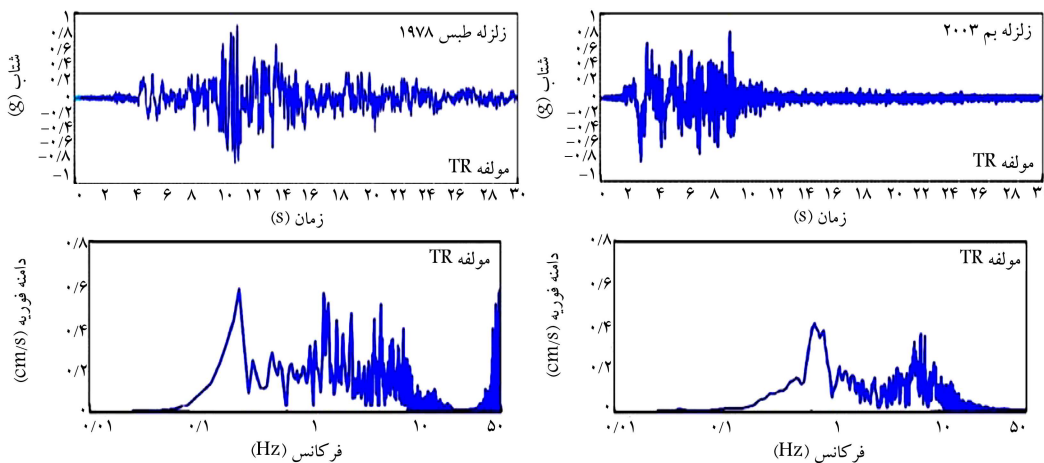
مجموعه‌ی پیوسته‌ی متعدد از گسل‌ها کوچک و کم دامنه‌ی سرعت همراه با اسپاپیک‌های به نسبت پر دامنه‌ی شتاب است. اثرات جهت‌داری در این دو رکورد به مراتب ضعیف‌تر از رکوردهای SCS، WPI و RRS و JFP است. رکورد (ARL) حاوی اثرات گسل‌ش ساکن است و هر چند در فاصله‌ی نزدیک نسبت به مرکز سطحی زلزله ثبت شده است، در عین حال هیچ‌گونه ساختار پالس مانند در تاریخچه‌ی زمانی این رکورد مشاهده نمی‌شود. در بازه‌ی زمانی از حدود ۱۲ تا ۲۰ ثانیه از رکورد شتاب هر دو مؤلفه LN و TR مربوط به رکورد ARL، تعداد زیادی اسپاپیک‌های به نسبت کم دامنه مشاهده می‌شود. رکورد ایستگاه مورپارک (MRP) نیرومند و پر انرژی نورث‌ریچ (JFP) در ایالت کالیفرنیا ثبت شده‌اند. مطابق جدول ۲ و شکل ۳، رکوردهای ایرانی بهم و طبس و نیز رکورد بسیار نیرومند و پر انرژی (WPI) (SCS)، Newhall W.Pico (WP)، Sylmar (SCS) (Rinaldi (RRS) و Jensen (JFP) نیز شده در حوزه‌ی نورث‌ریچ، اثرات گسل‌ش پیش‌رو همراه با جهت‌داری پیش‌رونده دارند. پالس‌های بزرگ و دوره‌ی تناوب بلند سرعت در تاریخچه‌ی زمانی رکوردهای مذکور، متناظر با هر دو مؤلفه‌ی موازی و عمود بر صفحه‌ی شکست گسل ملاحظه می‌شوند. یک مجموعه‌ی بزرگ و بلندمدت پالس‌ها و اسپاپیک‌های پر دامنه‌ی شتاب نیز در رکوردهای فوق مشاهده می‌شوند. بر پایه‌ی شکل ۳ می‌توان دریافت که ساختار تاریخچه‌ی زمانی رکوردهای نزدیک و به چندان نیرومند (STC) (Sepulveda (SPV) و Saticoy (STC)) نشان‌دهنده‌ی یک



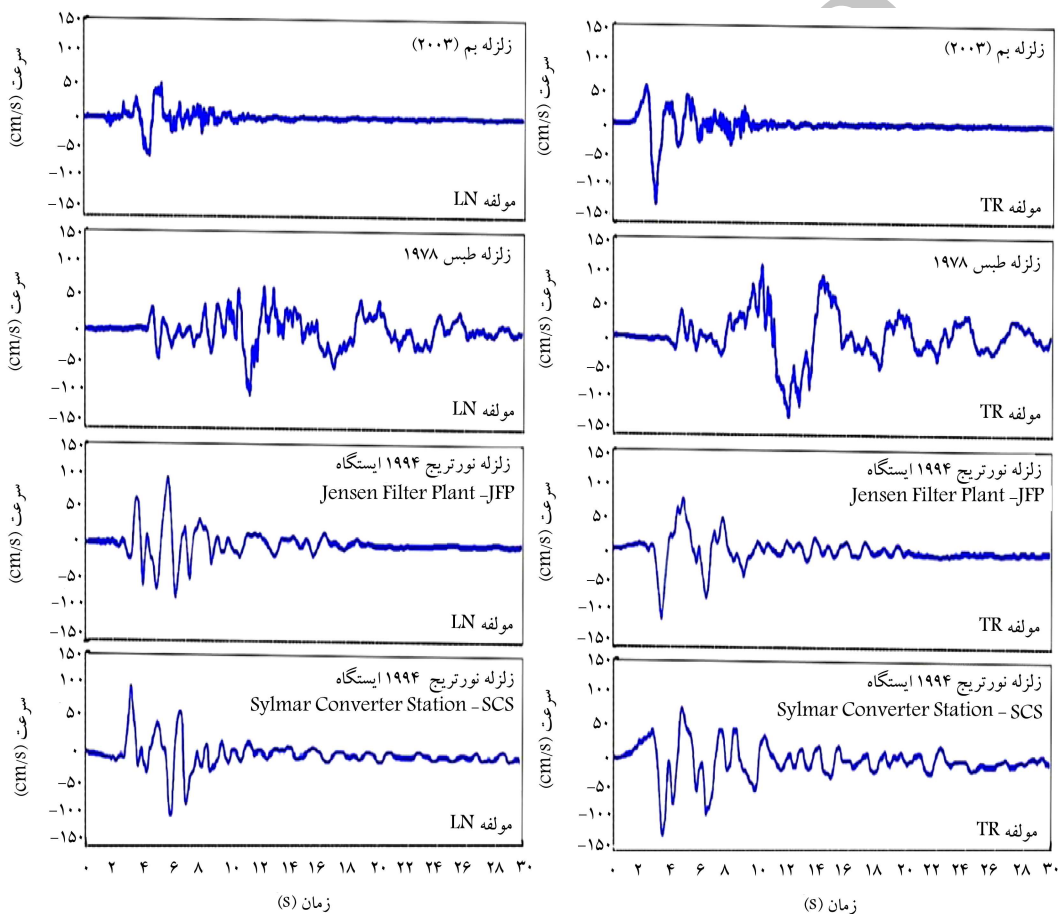
شکل ۳. تاریخچه‌ی زمانی شتاب و سرعت رکوردهای SPV و STC در دو مؤلفه‌ی LN و TR.



شکل ۴. تاریخچه‌ی زمانی شتاب و طیف فوریه‌ی رکوردهای MRP و ARL متناظر با مؤلفه‌ی TR.



شکل ۵. تاریخچه‌ی زمانی شتاب و طیف فوریه‌ی رکوردهای بم و طبس متناظر با مؤلفه‌ی TR.



شکل ۶. تاریخچه‌ی زمانی سرعت زمین در رکوردهای بم، طبس، و ایستگاه‌های SCS و JFP زلزله‌ی نورث‌ریج، حاوی اثرات جهت‌داری پیش‌روندۀ.

بزرگ خواهد شد. وجود مؤلفه‌های ارتفاعی بزرگ در باند بسامدهای پایین طیف فوریه‌ی ۲ رکورد بم و طبس، یک نمود مشخص از موضوع ذکر شده است (شکل ۵). مشخصات فیزیکی رکوردهای انتخابی این پژوهش در جدول ۲ و همچنین ساختارهای پردازنه و بلندمدت پالس شکل مربوط به ۴ رکورد بسیار نیرومند BAM، SCS در شکل ۶ نمایش داده شده‌اند. تابع پژوهش‌های لرزه‌شناسی نشان می‌دهند که رکوردهای طبیعی زلزله بهترین نمایش از ساختار بارگذاری لرزه‌ی

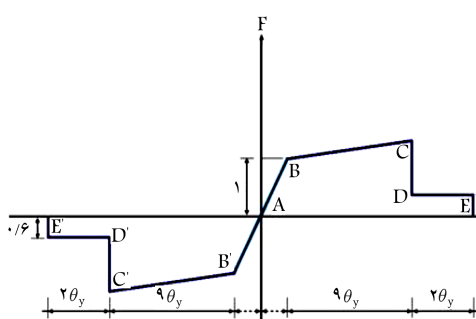
پایین خواهد بود. طیف فوریه‌ی رکوردهای نیرومند حوزه‌ی نزدیک، که حاوی اثرات جهت‌داری پیش‌روندۀ هستند، در بخش‌های متناظر با بسامدهای پایین نیز به شکل قابل توجهی، مؤلفه‌های ارتفاعی بسیار بزرگ دارند. محدوده‌ی بسامدهای پایین در واقع متناظر با دوره‌ی تناوب ارتعاش طبیعی ساختمان‌های میان مرتبه تا بلند است. بدین لحاظ قرارگرفتن دوره‌ی تناوب مذکور در باند پرانرژی بسامدهای پایین طیف فوریه‌ی یک رکورد نیرومند حوزه‌ی نزدیک سبب وقوع پدیده‌ی تشددید با نمود بسیار

بدون اثرات جهت داری پیش رو نده، در حوزه هی عملکردی بسیار پایین تری نسبت به رکوردهای حاوی پالس های پیوسته و بزرگ سرعت قرار می گیرد. در شکل ۸ پارامتر دریفت بیشینه یا همان بیشینه تغییر مکان جانبی نسبی طبقات به عنوان معیاری مهم برای بررسی عملکرد لرزه هی سازه در نظر گرفته شده است. شکل ۹، در برگیرنده مقدار بیشینه تغییر مکان نسبی طبقات در نقطه A پلان مدل های مطالعاتی است. مطابق آنچه در نمودارهای این پارامتر پاسخ مشهود است، بیشینه تغییر مکان جانبی نسبی مدل های ۲ و ۳ با ساختار مهاربند های بزرگ، برای همه رکوردها در محدوده ۴، ۵، ۶ ارتفاع سازه رخ داده و نیز روند تغییرات آن، یک سیر متتابع افزایشی - کاهشی دارد، به گونه ای که در بالای سازه به کمینه نسبی مقدار خود رسید. ساختار نمودارهای شکل ۹، بیانگر بروز مقادیر به مرتب بزرگ تر دریفت تحت رکوردهای حاوی اثرا تجهیز داری پیش رو نده همچون JFP و SCS است (شکل ۶). براساس طیف های پاسخ سرعت ترسیم شده در شکل ۸ و نیز مقادیر دوره های تنابو اولین ۳ مود ارتعاشی مدل های مطالعاتی این پژوهش متناظر با جهت TR در جدول ۳، آرایش های طیفی متفاوت متناظر با ۳ مود یاد شده، عامل مهم تأثیرگذار در روند تغییرات نتایج به حساب می آید. چنانچه از نمودار تغییرات پارامتر دریفت در جهت محور Y ملاحظه می شود، برای مدل ۱ مقادیر بیشینه ای این پارامتر تحت رکوردهای BAM، SCS و JFP حاصل شده و برای مدل های ۲ و ۳ نیز تحت رکوردهای RRS، SCS و BAM به دست آمده است. نتایج دریفت بیشینه تحت ۲ رکورد حوزه دور MRP و نیز حوزه نزدیک بدون پالس سرعت ARL، بسیار کوچک تر از مقادیر متناظر مربوط به رکوردهای شکل ۱ است. این موضوع با توجه به دامنه های ارتفاعی پایین مربوط به طیف های پاسخ سرعت ۲ رکورد مذکور در شکل ۸ استنباط می شود. آرایش پالن های مهاربندی شده همگرا در مدل ۱، تعداد پیکسانی المان های تیز، ستون، و بادبند با مدل ۲ دارد و مشخصات مقاطع اعضاء متناظر نیز مشابه است. نتایج ارائه شده در شکل ۹، نشان دهنده وجود ساختار تغییرات به کلی متفاوت دریفت برای مدل ۱ نسبت به مدل ۲ است. براساس

جدول ۳. دوره هی تنابو ارتعاشی مود اول تا سوم در ۳ مدل مطالعاتی.

دوره هی تنابو (ثانیه)			
مدل	مود دوم	مود اول	مود سوم
۱	۲,۵۸	۱,۰۵	۰,۷۱
۲	۱,۰۲	۰,۵۷	۰,۳۵
۳	۲,۴۲	۱,۱۹	۰,۸۲

(تیرها و ستون ها)



شکل ۷. مدل رفتار غیرخطی اعضاء براساس ۳۵۶ FEMA [۲۳].

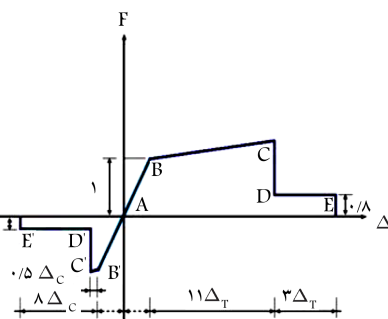
برای ارزیابی و طراحی سازه ها هستند. ساختار فیزیکی زمین در حوزه هی نورثرن به خاک نوع II ایران نزدیک است و تمامی رکوردهای جدول ۲ به صورت طبیعی و ۳ مؤلفه ای به مدل های مطالعاتی پژوهش حاضر اعمال شده است. توضیح آنکه مؤلفه ای موازی با صفحه ای شکست گسل (مؤلفه LN) در راستای X، مؤلفه ای نیرومندتر عمود بر صفحه ای شکست (مؤلفه TR) در راستای Y پلان سازه و مؤلفه ای قائم نیز در جهت Z وارد شده است. [۳۰-۳۱]

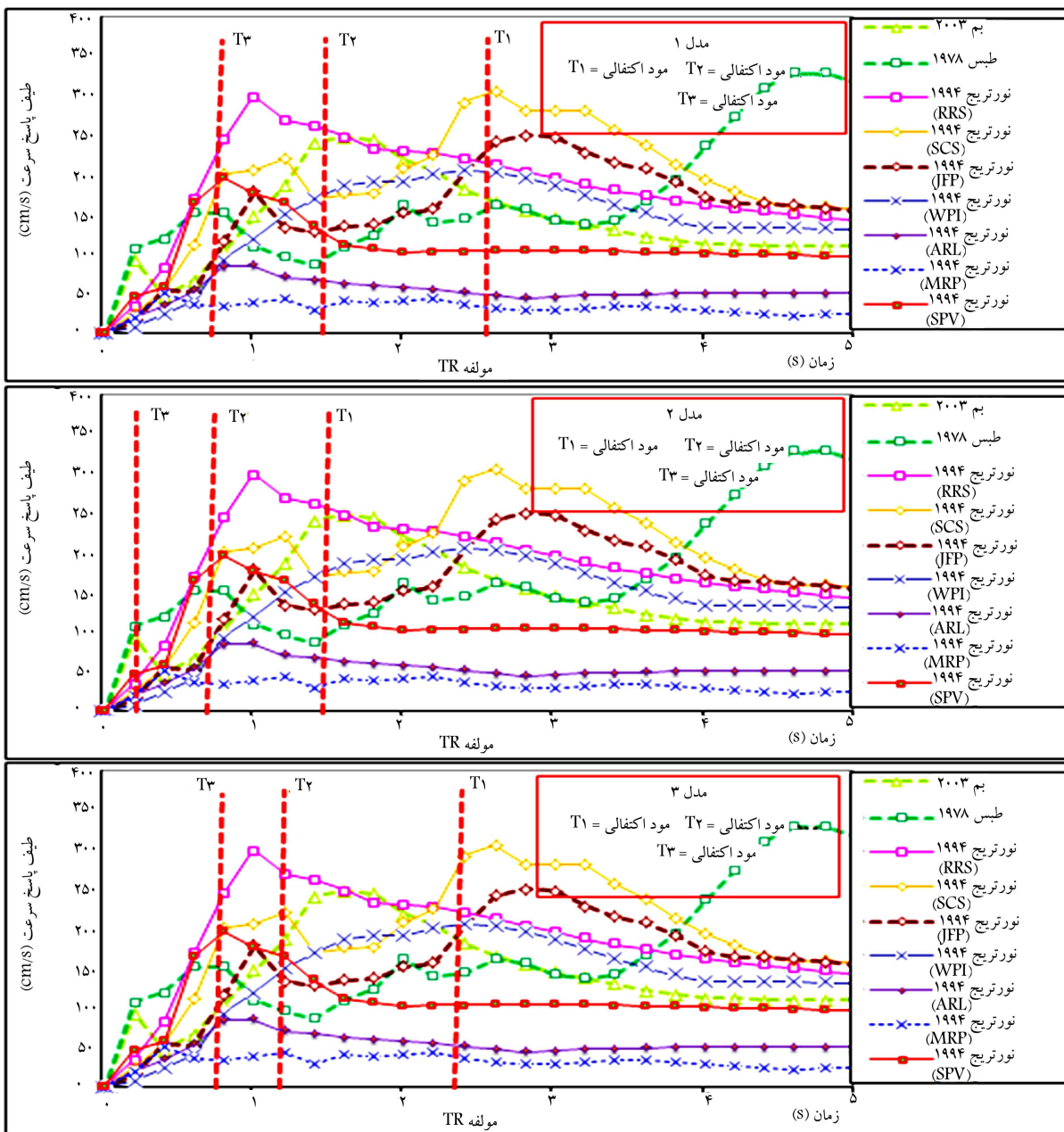
## ۷. پارامترهای پاسخ غیرخطی سازه ها

این پژوهش در برگیرنده نتایج تحلیل رفتار دینامیکی غیرخطی سازه های مطالعاتی شکل ۱ با دو سیستم مهاربند های همگرا (مدل ۱) و نیز مهاربند های بزرگ (مدل های ۲ و ۳) تحت مجموعه ای از رکوردهای انتخابی، با استفاده از نرم افزارهای SAP ۲۰۰۰ و PERFORM-3D است. رکوردهای انتخابی نیز با توجه به چگونگی اثرات جهت داری و همچنین وجود پالس یا پالس های تکیه شتاب و سرعت، بر طبق جدول ۲ و شکل های ۳ تا ۶ دسته بندی شده اند. پارامترهای پاسخ لرزه بی هر ۳ سازه های مطالعاتی شامل بیشینه برش پایه، بیشینه ۲ پارامتر شتاب مطلق و سرعت نسبی طبقات در محل مرکز جرم C و دریفت ۱۹ طبقات در نقطه A پلان است. همچنین پارامترهای تحلیلی مربوط به مدل سازی مفاصل خمیری و ویژگی های رفتار غیرخطی اعضا براساس ضوابط گزارش Fema ۳۵۶ تنظیم شده است. مفاصل خمیری با ساختار اندرکنترنی P و نیز خمیشی M<sub>r</sub> به ترتیب برای ستون ها و شاه تیرها لحظه شده و ساختار رفتار لرزه بی در دو حالت کشش و فشار به صورت یکسان فرض شده است. قابلیت رفتار غیرخطی المان های مهاربند نیز براساس تعریف مفصل نامتنازن P با ویژگی های R ۳ مدل مطالعاتی درکشش و فشار برای سازه های مطالعاتی مظور شده است. مدل تحلیلی برای توصیف رفتار پژوهش حاضر، بیانگر تشکیل ۲ ساختار عمومی و متفاوت مکانیزم مفاصل خمیری در اسکلت مقاوم قاب محیطی هر ۳ مدل مطالعاتی است. [۳۲-۳۴]

ویژگی های فیزیکی متفاوت گروه رکوردهای حوزه نزدیک حاوی اثرات نیرومند جهت داری پیش رو نده نسبت به ۲ دسته ای رکوردهای نه چندان نیرومند حوزه دور و حوزه نزدیک متأثر از اثرات گسلش خنثی، سبب تشکیل و آرایش منمرکز مفاصل غیرخطی در بخش های میانی و پایین سازه هی مقاوم قاب محیطی دارای مهاربندی شده است. مکانیزم مفاصل غیرخطی حاصل شده از تأثیر ۲ دسته رکوردهای ذکر شده

(المان های مهاربندی)





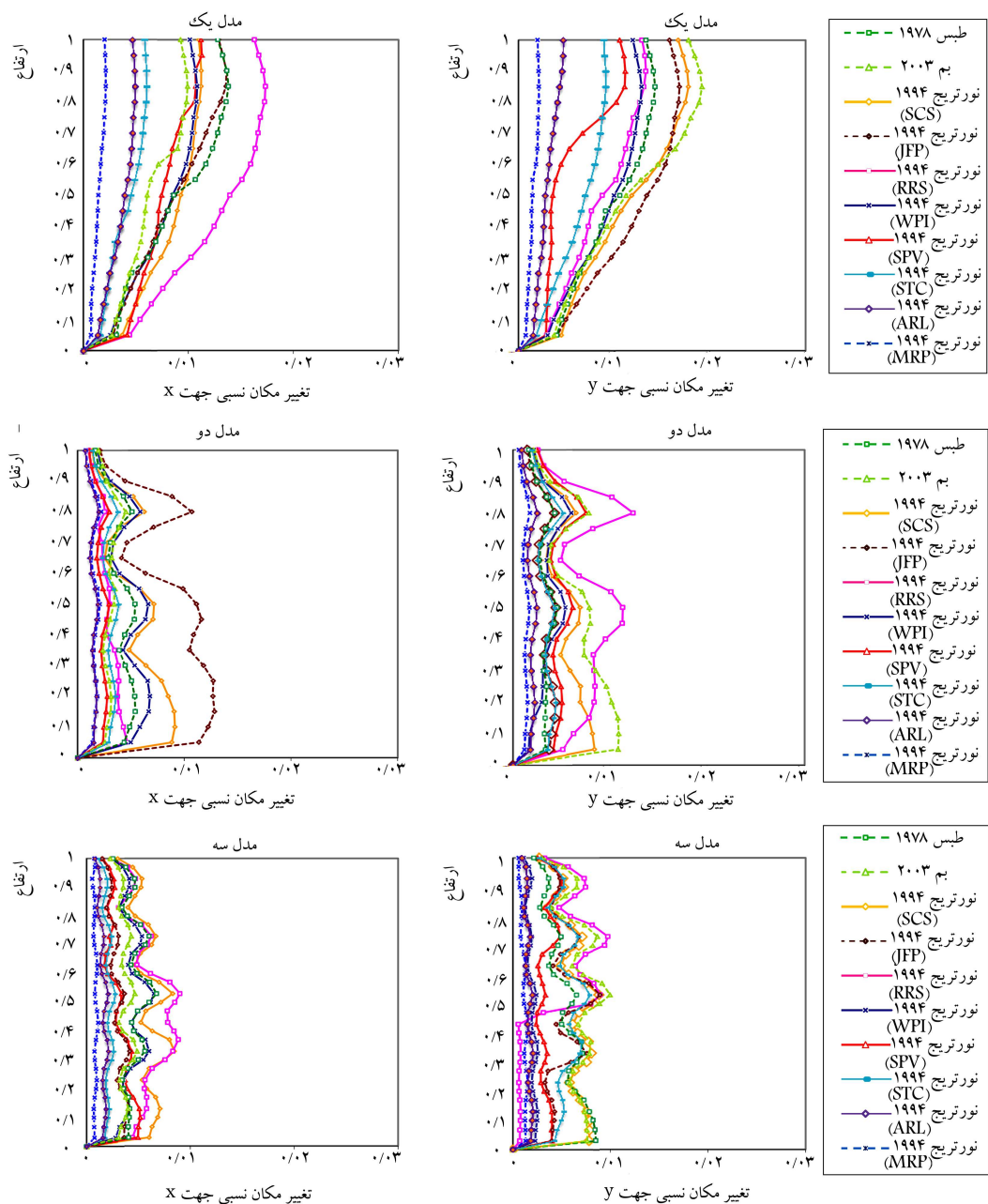
شکل ۸. آرایش طیفی ۳ مود اول ارتعاشی مدل‌های مطالعاتی در طیف پاسخ سرعت متناظر با مؤلفه‌ی TR رکوردهای انتخابی.

المان‌های مهاربندی در ترازهای مختلف ارتفاعی، مقادیر دریافت به نسبت کمتر به دست آمده است.

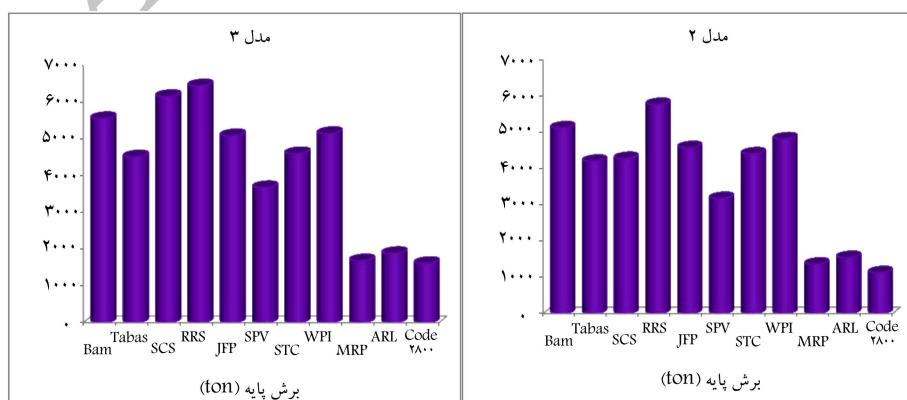
براساس نتایج این پژوهش، بررسی مقادیر محاسباتی دریافت بیشینه برای هر دو راستای X و Y در مدل‌های قاب محیطی با مهاربندی بزرگ، نشان‌دهنده‌ی فراگیری این پارامتر در محدوده‌ی قابل قبول طراحی لرزه‌ی است. همچنین حوزه‌ی عملکرد لرزه‌ی المان‌های اصلی سیستم مقاوم، در محدوده‌ی این‌یعنی جانی واقع شده است و شرایط مطلوب رفتار دینامیکی را تضمین می‌کند. افزون بر آن ملاحظه شده است که مدل‌های با مهاربندهای بزرگ نسبت به مدل با مهاربندی منظم، در راستای ارتفاع سازه با تغییر مکان جانبی و نیز دریافت به نسبت کمتر است.

شکل ۱۰، نشان‌دهنده‌ی پارامتر بیشینه‌ی برش پایه‌ی دینامیکی سازه‌های

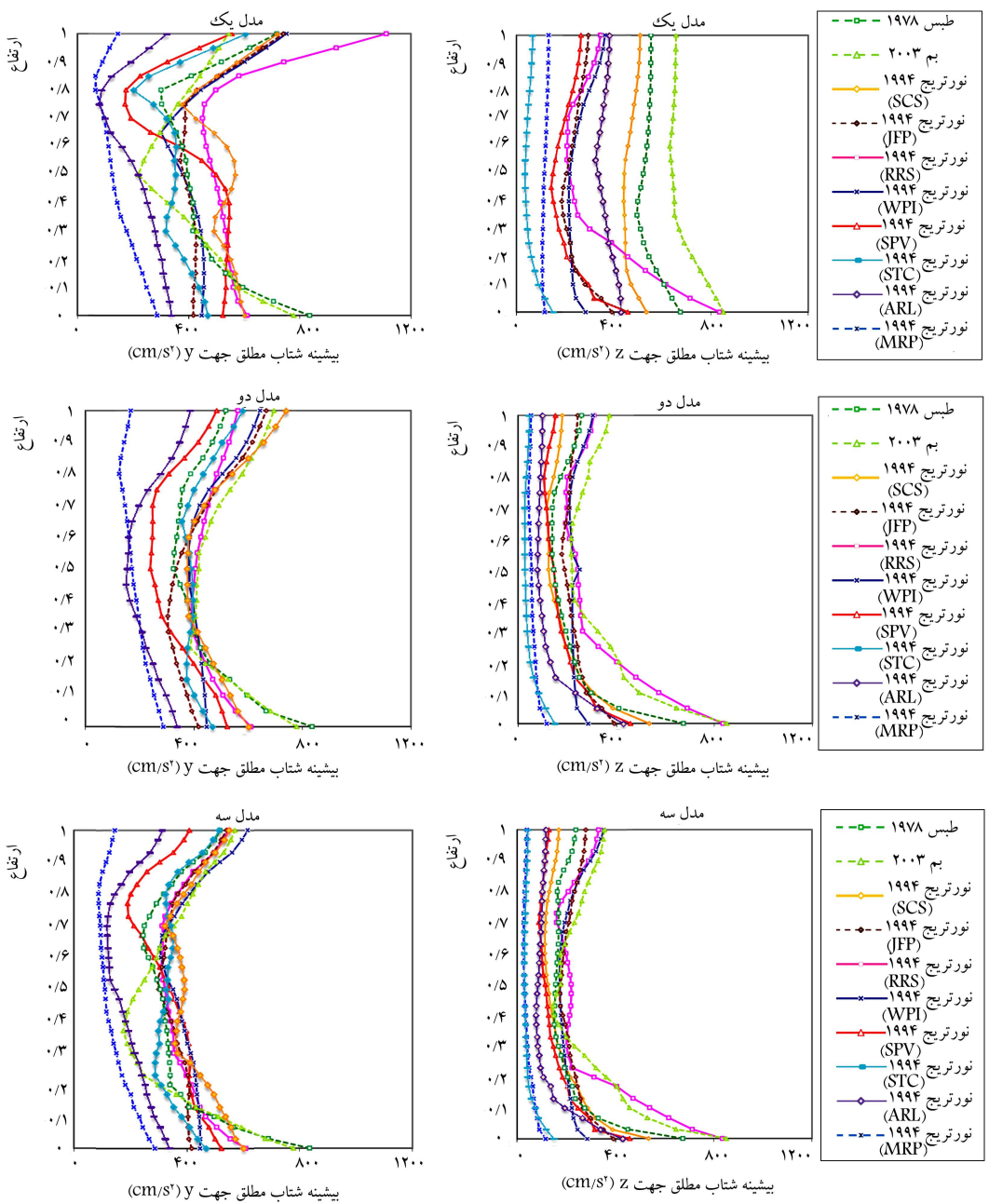
تفییبات بزرگ‌تر دامنه‌ی دریافت بیشینه برای مدل ۱ می‌توان دریافت که کارایی و قابلیت رفتار لرزه‌ی سیستم مهاربندهای بزرگ نسبت به مهاربندهای معمولی، به مرابت بهتر است. این برتری و قابلیت بسیار مناسب رفتاری سبب کاربرد سیستم مقاوم قاب محیطی با آرایش مهاربندی بزرگ در اسکلت مقاوم ساخته‌های باشد خواهد بود. تغییرات تغییر مکان نسبی در مدل ۲ در طبقات ۲، ۱۰ و ۱۶ و برای مدل ۳ در طبقات ۲، ۱۰، ۲۲، ۱۶ و ۲۸ اتفاق می‌افتد. بیشینه‌ی مقدار دریافت در مدل‌های ۲ و ۳ در تراز پانل‌هایی که مهاربندها به صورت ضربه‌ی قدر دارند، همچنین ملاحظه می‌شود که به خاطر عدم تمرکز و تأثیرگذاری برآیند نیروی محوری در یک راستای پانل‌های مهاربندی و تقسیم آن در بخش‌های مختلف اسکلت مقاوم محیطی ۲ سازه‌ی یادشده و نیز آرایش هندسی متفاوت



شکل ۹. بیشینه‌ی تغییرمکان نسبی طبقات در نقطه‌ی A پلان.



شکل ۱۰. مقادیر برش پایه‌ی استاتیکی و دینامیکی مدل‌های ۲ و ۳ (راستای Y).

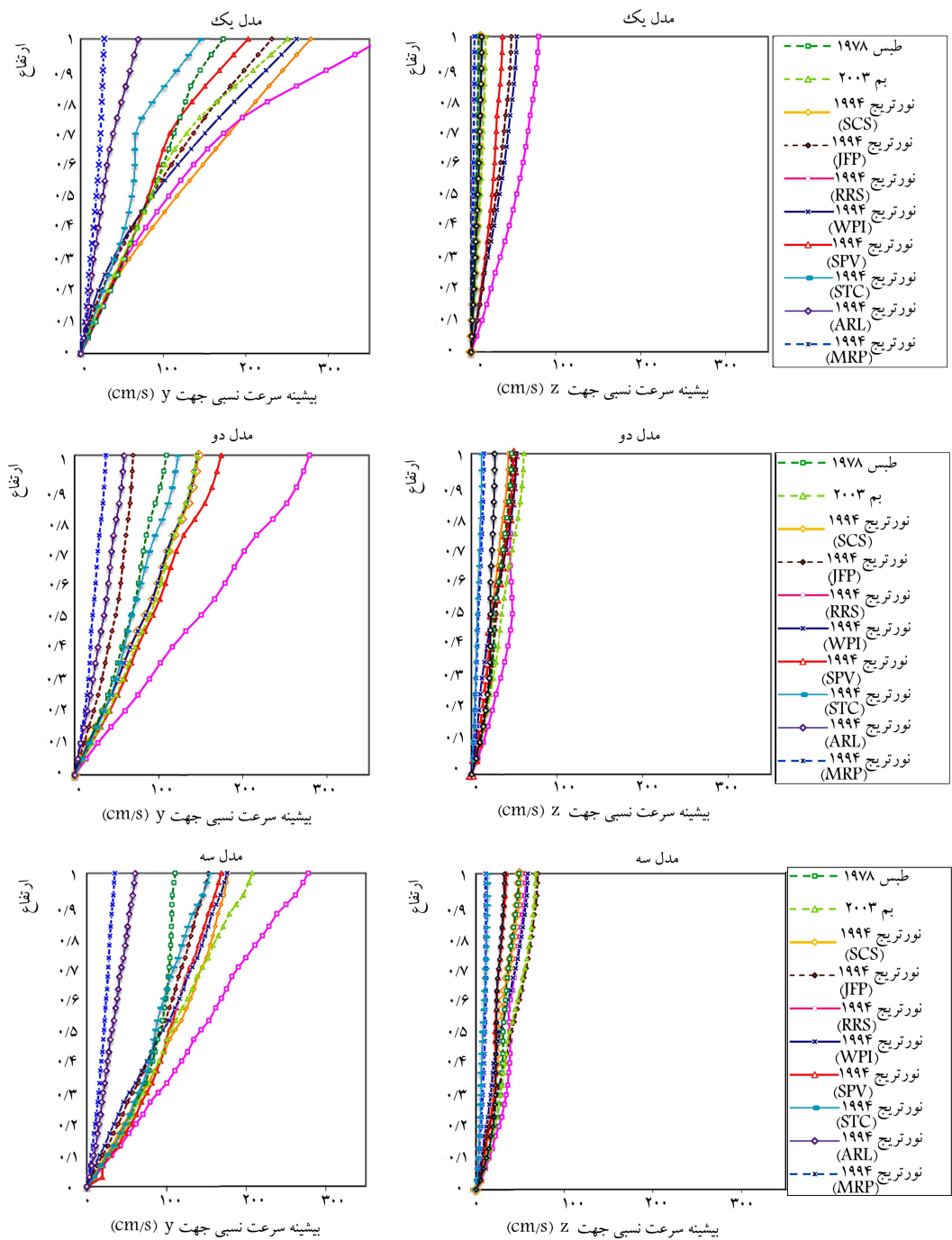


شکل ۱۱. بیشینه‌ی شتاب مطلق طبقات در محل مرکز جرم  $C_M$

پیش‌بینی پارامترهای همیستگی منفرد و مقاطعه برای هر چنیش پرقدرت حوزه‌ی نزدیک، دلیل عدمدهی بروز تغییرات شگرف در پارامترهای پاسخ لرزه‌ی غیرخطی است. نمودارهای تغییرات ۲ پارامتر بیشینه‌ی شتاب مطلق و نیز بیشینه‌ی سرعت نسبی طبقات در هر دو راستای Y و Z به ترتیب در شکل‌های ۱۱ و ۱۲ نمایش داده شده‌اند. همان‌طور که در نمودار تغییرات بیشینه‌ی شتاب مطلق ملاحظه می‌شود، یک سیر کاوشی برای این پارامتر تا محدوده‌ی  $40^{\circ}$  تا  $60^{\circ}$  ارتفاع سازه در جهت Y و یک روند مشابه در بازه‌ی  $2^{\circ}$  تا  $40^{\circ}$  ارتفاع نیز برای جهت Z رخ داده است. همچنین ادامه‌ی روند تغییرات یادشده تا بالاترین تراز ارتفاعی مدل‌های مطالعاتی نیز یک سیر افزایشی داشته است.

دیگر نتایج پژوهش حاضر نشان می‌دهند که تغییرات پارامتر سرعت نسبی

مطالعاتی متناظر با جهت TR و نیز میزان برش پایه‌ی استاتیکی محاسبه شده در روند طراحی است. بررسی نتایج پژوهش حاضر نشان می‌دهد که پارامتر برش پایه در مدل‌های مطالعاتی تحت تأثیر رکوردهای حوزه‌ی نزدیک حاوی پالس سرعت دوره‌ی تناوب بلند، به میزان قابل توجهی سبب به مقدار حاصل از رکوردهای حوزه‌ی نزدیک بدون ساختارهای پالس‌گونه و نیز رکورد حوزه‌ی دور MRP، بزرگ تر است. بالا بودن پارامتر پاسخ مذکور را می‌توان به حضور اسپایک‌های پردامنه‌ی شتاب و نیز پالس‌های پیوسته و بلندمدت سرعت در تاریخچه‌ی زمانی چنیش‌های نیرومند حوزه‌ی نزدیک نسبت داد. بخش بسیار بزرگی از ارزی جنیشی یک رکورد حوزه‌ی نزدیک حاوی اثرات جهت‌داری پیش‌روندۀ در بازه‌ی زمانی برابر با دوره‌ی تناوب پالس بزرگ سرعت زمین به سازه اعمال می‌شود. ماهیت تصادفی رکوردهای نیرومند ۳ مؤلفه‌یی زلزله و تغییرات غیرقابل



شکل ۱۲. بیشینه‌ی سرعت نسبی طبقات در محل مرکز جرم  $C_M$ .

**۸. نتیجه‌گیری**

نتایج پژوهش حاضر روش‌گر ویژگی‌های رفتار لرزه‌بی ساختمان‌های بلند فولادی با سازه‌ی مقاوم قاب محیطی با مهاربندهای بزرگ است. ارزیابی و تحلیل عملکرد لرزه‌بی مدل‌های مطالعاتی نیز تحت اثر رکوردهای نیرومند حوزه‌ی نزدیک صورت گرفته است. معیار اصلی در انتخاب رکوردهای حوزه‌ی نزدیک، وجود پالس‌های پر انرژی و بلندمدت در تاریخچه‌ی زمانی سرعت هر رکورد است. پارامترهای مطالعه‌شده‌ی پاسخ لرزه‌بی شامل تغییر مکان نسبی، برش پایه، سرعت نسبی، و

طبقات سازه‌های مطالعاتی، یک سیر صعودی برای هر ۳ راستای X، Y و Z دارند. ملاحظه می‌شود که مقادیر شتاب و سرعت برای مدل ۲ مطالعاتی و ۳ با ساختار مهاربندهای بزرگ نسبت به مدل ۱ با آرایش مهاربندهای همگرا به مرتبه کمتر است. همچنین مشاهده شده است که میزان تغییرات ۲ پارامتر پاسخ مذکور نیز به صورت چشم‌گیری متأثر از وجود پالس‌های سرعت دوره‌ی تناب بلند با دامنه‌ی بزرگ است و نیز تحت اثر رکوردهای حوزه‌ی نزدیک دارای اثرات جهت‌داری پیش‌رونده به مرتبه بزرگ‌تر از مقادیر مشابه حاصل از رکورد حوزه‌ی دور MRP و حوزه‌ی نزدیک با جهت‌داری خنثی ARL هستند.

پیشینه‌ی تغییر مکان جانبی و دریفت طبقات مؤثر باشد. سیستم قاب محیطی با مهاربندهای بزرگ، عملکرد بهتری از نظر کنترل شاخص آسیب‌پذیری و پارامترهای پاسخ لرزه‌یی نسبت به سیستم‌های مهاربندی شده‌ی منظم در ارتفاع دارند. شایان ذکر است که رکوردهای نیرومند زلزله حاوی اسپاک‌های پردازه‌ی شتاب و پالس‌های بلندمدت سرعت حاصل شده از فلیند گسلش با جهت داری پیش روی توانند مقادیر بسیار بزرگ برش پایه، تغییر مکان نسبی، شتاب مطلق و سرعت نسبی طبقات را در رفتار لرزه‌یی ساختمان‌های بلندمرتبه ایجاد کنند. ملاحظه شده است که سازه‌های مطالعاتی ۲ و ۳ در پژوهش حاضر، که ساختار مقاوم قاب محیطی با مهاربندی بزرگ دارند، با رعایت معیارهای طرح لرزه‌یی «محدودیت جابه‌جایی نسبی طبقات» و «اصل ستون قوی - تیر ضعیف»، حتی تحت اثر رکوردهای پر انرژی و نیرومند زلزله نیز عملکرد لرزه‌یی بسیار مناسب دارند.

شتاب مطلق طبقات است. ملاحظه شده است که به کارگیری آرایش‌های متمرکز مهاربندی در یک تعداد محدود و هم‌راستا از پانل‌های سیستم مقاوم قاب محیطی در ساختمان‌های بلند، چندان مناسب نیست. بر پایه‌ی نتایج پژوهش حاضر مشاهده شده است که تغییرات پارامترهای پاسخ لرزه‌یی غیرخطی مربوط به مدل ۲۰ طبقه با آرایش متمرکز پانل‌های مهاربندی شده نسبت به مدل متناظر ۲۰ طبقه با مهاربندهای بزرگ دچار تغییرات گسترده‌تری شده است.

همچنین به علت واردامدن مقادیر زیاد انرژی به سازه در باره‌ی زمانی پالس‌های بزرگ سرعت، بهویه در ابتدا رکورد زلزله، می‌توان ملاحظه کرد که این روند سبب توسعه‌ی سریع رفتار غیرخطی و گسترش مقاصل خمیری در سراسر ارتفاع سازه می‌شوند. این روند سریع جذب واستهلاک انرژی موجب ایجاد تغییر مکان‌های نسبی بزرگ طبقات خواهد شد. استفاده از المان‌های منفرد و نیز همگرای مهاربندی در

## پانوشت‌ها

1. Imperial Valley
2. Loma Prieta
3. Northridge
4. Kobe
5. ChiChi
6. fault mechanism
7. rupture propagation
8. fling step
9. strike slip fault
10. dip slip fault
11. velocity pulse
12. San Fernando
13. braced tube structure
14. shear lag
15. forward directivity
16. backward directivity
17. neutral directivity
18. Moorpark
19. drift

## منابع (References)

1. Bolt, B.A. "Seismic input motion for nonlinear structural analysis", *ISET Journal of Earthquake Technology*, **41**(2), pp. 223-232 (2004).
2. Elnashai, A.S., Mwafy, A., Sigmundsson, R. and Salama, A. "Significance of sever distance and moderate close earthquake on design and behavior of tall building", *The Structural Design of Tall and Special Building*, **15**(4), pp. 391-416 (2006).
3. Mollaioli, F. and Decanini, L.D. "Characterization of the dynamic response of Structures to damaging pulse type near fault ground motion", *Int. J. Theoretical Applied Mechanics*, **41**(10), pp. 23-46 (2006).
4. Krawinkler, H. and Gupta, A. "Story drift demands for steel moment frame structures in different seismic regions", *6th U.S. National Conference on Earthquake Engineering* (1998).
5. Anderson, J.C. and Bertero, V.B., *Amplifications of the Landers & Big Bear Earthquakes on Earthquake Resistant Design of Structures*, University of California, Report No. EERC 97/08, Berkeley, California (1997).
6. Hall, J.F., Heaton, T.H., Halling, M.W. and Wald, D.J. "Near-source ground motion and its effects on flexible buildings", *Earthquake Spectra*, **11**(4), pp. 569-605 (1995).
7. Hall, J.F., *Seismic Response of Steel Frame Buildings to Near-Fault Ground Motion*, California Institute of Technology, Report No. EERL 97/05, Pasadena, California (1997).
8. Kravinkler, H. and Alavi, B. "Development of improved design procedures for near-fault ground motions", SIMP 89 Seminar on Utilization of Strong Motion Date, pp. 21-42 (1998).
9. Gioncu, V. and Mazzolani, F.M. "Influence of earthquake types on the design of seismic-resistant steel structures Part 1: Challenges for new design approaches", *STESSA Conference*, London (2006).
10. Gioncu, V. and Mazzolani, F.M. "Influence of earthquake types on the design of seismic-resistant steel structures Part 2: Structural responses for different earthquake types", *STESSA Conference*, London (2006).
11. Kalkan, E. and Kunzath, S.K. "Effects of fling step and forward directivity on seismic response of buildings", *Earthquake Spectra*, **22**(2), pp. 367-390 (2006).
12. Krishnan, S. "Case studies of damage to 19-storey irregular steel moment-frame buildings under near -source ground motion", *Earthquake Engineering and Structural Dynamic*, **36**(7), pp. 861-885 (2007).

13. Movahed, H., Meshkat-Dini, A. and Tehranizadeh, M. "Dynamic behavior of dual systems in tall buildings under influencing wavelike strong ground motions", *15th World Conference on Earthquake Engineering*, Paper No. 3889, Lisbon, Portugal (2012).
14. Tehranizadeh, M. and Movahed, H. "Evaluation of steel moment-resisting frames performance in tall buildings in near fault areas", *Journal of Civil and Surveying Engineering (JCSE)*, **44**(2), pp. 621-633 (2011).
15. Tarannah, B.S., *Wind and Earthquake Resistant Buildings: Structural Analysis and Design*, CRC Press, New York (2005).
16. Cook, J.A. "Structural steel framing option for mid and high rise building", MSc. Thesis, Massachusetts Institute of Technology (MIT) (2006).
17. Stafford Smith, B. and Coull, A., *Tall Building Structures: Analysis and Design*, New York, America (1991).
18. Hemmati, A. and Kheyroddin, A. "Behavior of large-scale bracing system in tall building subjected to earthquake loads", *Journal of Civil Engineering and Management*, **19**(2), pp. 206-216 (2013).
19. INBC (Iranian National Building Code), *Design Loads for Buildings*, Division 6, National Building Regulations Office, Tehran, Iran (2005).
20. Barati, F. "Study on the effect of physical characteristics of near field earthquake records on response parameters of mega-braced tube structural systems", MSc. Thesis, Kharazmi University (2015).
21. INBC (Iranian National Building Code), *Steel Structures*, Division 10, National Building Regulations Office, Tehran, Iran (2005).
22. BHRC, *Iranian Code of Practice for Seismic Resistant Design of Buildings*, Standard No. 2800-05. 3rd ed., Building and Housing Research Center, Tehran (2005).
23. Movahed, H., Meshkat-Dini, A. and Tehranizadeh, M. "Seismic behavior of steel special moment resisting frames affected by strong motions in near fault areas ", *15th Word Conference on Earthquake Engineering*, Paper No. 3887, Lisbon, Portugal (2012).
24. Abrahamson, N.A. "Attenuation of vertical peak ground acceleration", *Bulletin of the Seismic Society of America*, **79**(3), pp. 549-580 (1998).
25. Somerville, P.G. and Graves, R. "Conditions that give rise to unusually large long period ground motion", *The Structural Design of Tall Building*, **2**(3), pp. 211-232 (1993).
26. Malhotra, P.K. "Response of buildings to near - field pulse like ground motion", *Earthquake Engineering and Structural Dynamics*, **28**(11), pp. 1309-1326 (1999).
27. Alhan, C. and Surmeli, M. "Necessity and adequacy of near-source factors for not-so-tall fixed-base buildings", *Earthquake Engineering and Engineering Vibration*, **14**(1), pp. 13-26 (2015).
28. Movahed, H., Meshkat-Dini, A. and Tehranizadeh, M. "Seismic evaluation of steel special moment resisting frames affected by pulse type ground motions", *Asian Journal of Civil Engineering*, **15**(4), pp. 575-585 (2014).
29. Galasso, C., Zhong, P., Zareian F., Iervolino, I.G and Robert, W. "Validation of ground- motion simulations for historical events using MDOF systems", *Journal of International Association for Earthquake Engineering*, **42**(9), pp. 2727-2740 (2013).
30. Manfredi, G. "Evaluation of seismic energy demand", *Earthquake Engineering and Structural Dynamics*, **30**(4), pp. 485-499 (2001).
31. Barati, F., Meshkat-Dini, A. and Sarvghad-Moghadam, A. "Seismic performance of mega braced tube structures subjected to pulse type near-field ground motions", *First National Conference on Structural Engineering* (2015).
32. FEMA 356, *Federal Emergency Management Agency* (1998).
33. SAP2000, Version 14.2.0, *A Computer Program for Integrated Finite Element Analysis and Design of Structures*, California, Berkeley (2010).
34. PERFORM-3D, Version 5.0.0, *The Program is Well Suited for Analyzing and Evaluating the Performance of Nonlinear Structures*, published by CSI Institute, University of California, Berkeley.